

# Sinteza sistema sa konačnim impulsnim odzivom

Digitalna obrada signala

## Sinteza sistema sa konačnim impulsnim odzivom

### IIR - beskonačan impulsni odziv

U analognim sistemima ne postoje funkcije prenosa koje imaju samo nule, jer se to protivi uslovima fizičke ostvarljivosti.

Ne mešati to što je u praktičnim slučajevima impulsni odziv OGRANIČAVAN.

### FIR - konačan impulsni odziv

Preko analognog prototipa - transformacijom?

Računski, diskretni, digitalni domen – moguće nešto i što nije “fizički” ostvarljivo  
Funkcije prenosa sistema sa konačnim impulsnim odzivom (FIR) sintetizuju se direktnom sintezom u z-ravni.

- metod sinteze koji koristi prozorske funkcije za ograničavanje impulsnog odziva
- metod frekvencijskog odabiranja
- optimizacione metode projektovanja
- linearna faza
- linearna amplitudska karakteristika
- konstantan fazni pomeraj od  $90^\circ$
- ...

Digitalna obrada signala

## Sinteza sistema sa konačnim impulsnim odzivom

Sistem koji ima konačan impulsni odziv

$$\begin{aligned} h[n] &\neq 0 \quad n = 0, 1, \dots, M-1 \\ h[n] &= 0 \quad \text{za sve ostale vrednosti} \end{aligned}$$

Njegova z transformacija, odnosno funkcija prenosa sistema u z domenu

$$H(z) = \sum_{n=0}^{M-1} h[n] z^{-n} = \sum_{n=0}^{M-1} b_n z^{-n} = \frac{1}{z^{M-1}} \sum_{n=0}^{M-1} b_n z^{M-1-n} \quad \text{Ima samo nule?}$$

Frekvencijski odziv

$$H(e^{j\Omega}) = \sum_{n=0}^{M-1} h[n] e^{-jn\Omega} = |H(e^{j\Omega})| e^{j\arg H(e^{j\Omega})} = M(\Omega) e^{j\theta(\Omega)}$$

Fazno kašnjenje

Grupno kašnjenje

$$\tau_p(\Omega) = -\frac{\theta(\Omega)}{\Omega}$$

$$\tau_g(\Omega) = -\frac{d\theta(\Omega)}{d\Omega}$$

# Sinteza sistema sa konačnim impulsnim odzivom

Digitalna obrada signala

## Sinteza sistema sa konačnim impulsnim odzivom

Zašto je bitna "linerana" faza odnosno fazno kašnjne i grupno kašnjenje

Neka je na ulazu u sistem signal

$$s(t) = \sin(\omega_0 t + \varphi_1) + \sin(2\omega_0 t + \varphi_2)$$

Njegov vremenski oblik

$$s(t) = \sin(\omega_0 t + \varphi_1) + \sin(2\omega_0 t + \varphi_2) = 2 \cos\left(\frac{\omega_0 t + \varphi_2 - \varphi_1}{2}\right) \sin\left(\frac{3\omega_0 t + \varphi_2 + \varphi_1}{2}\right)$$

Ako signal prolazi kroz sistem koji ima konstantno pojačanje ali unosi različite fazne stavove na različitim učestanostima

$$s^*(t) = \sin(\omega_0 t + \varphi_1 + \Delta\varphi_1) + \sin(2\omega_0 t + \varphi_2 + \Delta\varphi_2)$$

Njegov vremenski oblik

$$\begin{aligned} s^*(t) &= \sin(\omega_0 t + \varphi_1 + \Delta\varphi_1) + \sin(2\omega_0 t + \varphi_2 + \Delta\varphi_2) = \\ &= 2 \cos\left(\frac{\omega_0 t + \varphi_2 - \varphi_1 + \Delta\varphi_2 - \Delta\varphi_1}{2}\right) \sin\left(\frac{3\omega_0 t + \varphi_2 + \varphi_1 + \Delta\varphi_2 + \Delta\varphi_1}{2}\right) \end{aligned}$$

Digitalna obrada signala

## Sinteza sistema sa konačnim impulsnim odzivom

$$s(t) = 2 \cos\left(\frac{\omega_0 t + \varphi_2 - \varphi_1}{2}\right) \sin\left(\frac{3\omega_0 t + \varphi_2 + \varphi_1}{2}\right)$$

$$s^*(t) = 2 \cos\left(\frac{\omega_0 t + \varphi_2 - \varphi_1 + \Delta\varphi_2 - \Delta\varphi_1}{2}\right) \sin\left(\frac{3\omega_0 t + \varphi_2 + \varphi_1 + \Delta\varphi_2 + \Delta\varphi_1}{2}\right)$$

Izlazni signal je "zakašnjen" ali da bi se zadržao oblik  $s^*(t + \Delta t) = s(t)$

$$\omega_0 \Delta t + \Delta\varphi_2 - \Delta\varphi_1 = 0$$

$$3\omega_0 \Delta t + \Delta\varphi_2 + \Delta\varphi_1 = 0$$

$$\Delta\varphi_2 = -2\omega_0 \Delta t \quad \text{Fazna linerano zavisi od učestanosti}$$

$$\Delta\varphi_1 = -\omega_0 \Delta t \quad \text{Fazno kašnjenje konstantno}$$

$$\text{Grupno kašnjenje konstantno}$$

# Sinteza sistema sa konačnim impulsnim odzivom

Digitalna obrada signala

## Sinteza sistema sa konačnim impulsnim odzivom

i fazno i grupno kašnjenje konstantno

$$\tau_g(\Omega) = \tau_p(\Omega) = \tau$$

$$\theta(\Omega) = -\tau\Omega = \tan^{-1} \frac{-\sum_{n=0}^{M-1} h[n] \sin n\Omega}{\sum_{n=0}^{M-1} h[n] \cos n\Omega}$$

$$\tan \tau\Omega = \frac{\sin \tau\Omega}{\cos \tau\Omega} = \frac{\sum_{n=0}^{M-1} h[n] \sin n\Omega}{\sum_{n=0}^{M-1} h[n] \cos n\Omega}$$

$$\sum_{n=0}^{M-1} h[n] (\cos n\Omega \sin \tau\Omega - \sin n\Omega \cos \tau\Omega) = \sum_{n=0}^{M-1} h[n] \sin(\tau\Omega - n\Omega) = 0$$

rešenje

$$\tau = \frac{M-1}{2} \quad h[n] = h[M-1-n], \quad n = 0, \dots, M-1$$



Digitalna obrada signala

## Sinteza sistema sa konačnim impulsnim odzivom

### IMPULSNI ODZIV SIMETRIČAN

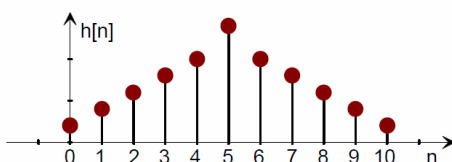
Tip I FIR filtra  $M$  neparan broj

impulsni odziv je simetričan u odnosu na centralni odbirak sa indeksom  $(M-1)/2$

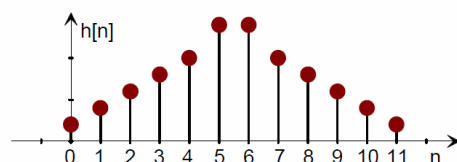
Tip II FIR filtra  $M$  paran broj

impulsni odziv je simetričan u odnosu na tačku koja leži na sredini između odbiraka sa indeksima  $(M-2)/2$  i  $M/2$

Tip I FIR



Tip II FIR



# Sinteza sistema sa konačnim impulsnim odzivom

Digitalna obrada signala

## Sinteza sistema sa konačnim impulsnim odzivom

samo grupno kašnjenje konstantno

$$\theta(\Omega) = -\tau\Omega + \theta_0 = \tan^{-1} \frac{-\sum_{n=0}^{M-1} h[n] \sin n\Omega}{\sum_{n=0}^{M-1} h[n] \cos n\Omega}$$

$$\sum_{n=0}^{M-1} h[n] \sin(\tau\Omega - \theta_0 - n\Omega) = 0$$

rešenje

$$\theta_0 = \pm \frac{\pi}{2} \quad \tau = \frac{M-1}{2} \quad h[n] = -h[M-1-n], \quad n = 0, \dots, M-1$$



Digitalna obrada signala

## Sinteza sistema sa konačnim impulsnim odzivom

### IMPULSNI ODZIV ANTISIMETRIČAN

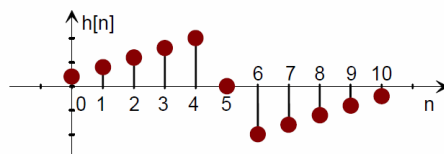
**Tip III FIR filtra M neparan broj**

impulsni odziv je antisimetričan u odnosu na centralni odbirak sa indeksom  $(M-1)/2$

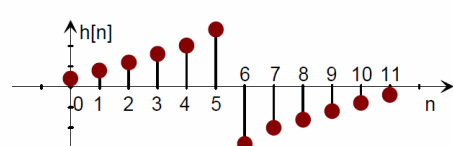
**Tip IV FIR filtra M paran broj**

impulsni odziv je antisimetričan u odnosu na tačku koja leži na sredini između odbiraka sa indeksima  $(M-2)/2$  i  $M/2$ .

Tip III FIR



Tip IV FIR

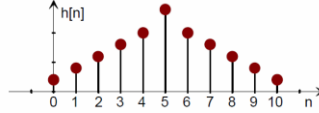


# Sinteza sistema sa konačnim impulsnim odzivom

Digitalna obrada signala  
Sinteza sistema sa konačnim impulsnim odzivom

## Frekvencijska karakteristika

FIR tipa I - impulsni odziv simetričan, M neparan broj



$$H(e^{j\Omega}) = \sum_{n=0}^{(M-3)/2} h[n]e^{-jn\Omega} + h[(M-1)/2]e^{-j\Omega(M-1)/2} + \sum_{n=(M+1)/2}^{M-1} h[n]e^{-jn\Omega}$$

$$\sum_{n=(M+1)/2}^{M-1} h[n]e^{-jn\Omega} = \sum_{n=(M+1)/2}^{M-1} h[M-1-n]e^{-jn\Omega} = \sum_{n=0}^{(M-3)/2} h[n]e^{-j\Omega(M-1-n)}$$

$$H(e^{j\omega}) = e^{-j\Omega(M-1)/2} \left\{ h[(M-1)/2] + \sum_{n=0}^{(M-3)/2} 2h[n]\cos\Omega\left(\frac{M-1}{2} - n\right) \right\}$$

Digitalna obrada signala  
Sinteza sistema sa konačnim impulsnim odzivom

## Frekvencijska karakteristika

FIR tipa I

$$H(e^{j\Omega}) = e^{-j\Omega(M-1)/2} \sum_{k=0}^{(M-1)/2} a_k \cos\Omega k \quad a_0 = h[(M-1)/2] \quad a_k = 2h[(M-1)/2 - k]$$

FIR tipa II

$$H(e^{j\Omega}) = e^{-j\Omega(M-1)/2} \sum_{k=1}^{M/2} b_k \cos\Omega\left(k - \frac{1}{2}\right) \quad b_k = 2h[M/2 - k]$$

FIR tipa III

$$H(e^{j\Omega}) = e^{-j[\Omega(M-1)/2 - \pi/2]} \sum_{k=1}^{(M-1)/2} a_k \sin\Omega k = j e^{-j\Omega(M-1)/2} \sum_{k=1}^{(M-1)/2} a_k \sin\Omega k$$

FIR tipa IV

$$H(e^{j\Omega}) = e^{-j[\Omega(M-1)/2 - \pi/2]} \sum_{k=1}^{M/2} b_k \sin\Omega\left(k - \frac{1}{2}\right) = j e^{-j\Omega(M-1)/2} \sum_{k=1}^{M/2} b_k \sin\Omega\left(k - \frac{1}{2}\right)$$

# Sinteza sistema sa konačnim impulsnim odzivom

Digitalna obrada signala

## Sinteza sistema sa konačnim impulsnim odzivom

### Raspored nula

1. Kompleksne nule funkcije prenosa koje ne leže na jediničnom krugu javljaju se u *kvadrupletima* (grupama po četiri konjugovano kompleksne i recipročne nule) na lokacijama:  $z_i$ ,  $z_i^*$ ,  $z_i^{-1}$  i  $(z_i^*)^{-1}$ ,

2. Realne nule funkcije prenosa koje ne leže na jediničnom krugu javljaju se u recipročnim parovima:  $z_i$ ,  $z_i^{-1}$ ,

3. Prozvoljan broj konjugovano kompleksnih parova nula može ležati na jediničnom krugu pošto je:

$$(z - z_i)(z - z_i^*) = (z - e^{j\phi_i})(z - e^{-j\phi_i}) = \left( z - \frac{1}{z_i^*} \right) \left( z - \frac{1}{z_i} \right)$$

4. Proizvoljan broj nula može ležati u tačkama  $z_i = \pm 1$ , jer je tada takođe  $z_i^{-1} = \pm 1$ .

Digitalna obrada signala

## Sinteza sistema sa konačnim impulsnim odzivom

### Raspored nula

$$H(z) = \sum_{n=0}^{M-1} h[n]z^{-n} = \pm \sum_{n=0}^{M-1} h[M-1-n]z^{-n} = \pm \sum_{k=M-1}^0 h[k]z^k z^{-(M-1)} = \pm z^{-(M-1)} H(z^{-1})$$

+ simetričan  
- antisimetričan

$$z = -1$$

$$H(-1) = \pm (-1)^{-(M-1)} H(-1)$$

Fir II, M parno       $H(-1) = -H(1)$        $H(-1) = 0$       mora imati nulu u tački  $z = -1$

Fir III, M neparno      mora imati nulu u tački  $z = -1$

$$z = 1$$

$$H(1) = \pm H(1)$$

tip III i tip IV FIR filtra moraju imati nule u tački  $z = 1$

# Sinteza sistema sa konačnim impulsnim odzivom

Digitalna obrada signala

**Sinteza sistema sa konačnim impulsnim odzivom**

**Sinteza FIR sistema sa prozorskim funkcijama**

Faza linearna

**Aproksimacija amplitudske karakteristike**

Diskretan sistem -> Željena amplitudska karakteristika periodična funkcija

Furijeov red

$$H_D(e^{j\Omega}) = \sum_{n=-\infty}^{\infty} h_D[n] e^{-jn\Omega}$$

$$h_D[n] = \frac{1}{2\pi} \int_{-\pi}^{\pi} H_D(e^{j\Omega}) e^{jn\Omega} d\Omega$$

$$e^{j\Omega} = z$$

$$H_D(z) = \sum_{n=-\infty}^{\infty} h_D[n] z^{-n}$$

**Moguće napraviti?**

Digitalna obrada signala

**Sinteza sistema sa konačnim impulsnim odzivom**

**Sinteza FIR sistema sa prozorskim funkcijama**

Ograničavanje impulsnog odziva

Odsecanjem

$$\tilde{h}[n] = \begin{cases} h_D[n], & |n| \leq \frac{M-1}{2} \\ 0, & |n| > \frac{M-1}{2} \end{cases} \quad \text{želimo } M \text{ neparno}$$

Kauzalno? Još uvek ne! Pomeranje u desno za  $(M-1)/2 \rightarrow z^{-(M-1)/2}$

$$h[n] = \tilde{h}\left[n - \frac{M-1}{2}\right] = \begin{cases} h_D\left[n - \frac{M-1}{2}\right], & n = 0, 1, \dots, M-1 \\ 0, & n < 0, \quad n \geq M \end{cases}$$

$$H(z) = z^{-(M-1)/2} \tilde{H}(z) = z^{-(M-1)/2} \left\{ h[(M-1)/2] + \sum_{n=0}^{(M-3)/2} h[n] [z^{[(M-1)/2-n]} + z^{-[(M-1)/2-n]}] \right\}$$

# Sinteza sistema sa konačnim impulsnim odzivom

Digitalna obrada signala

Sinteza sistema sa konačnim impulsnim odzivom

Sinteza FIR sistema sa prozorskim funkcijama

## Digresija

$$h[n] = h[M-1-n]$$

$$h[n] = -h[M-1-n]$$

M neparno

$$H(z) = \sum_{n=0}^{M-1} b_n z^{-n} = \sum_{n=0}^{M-1} h[n] z^{-n}$$

$$H(z) = z^{-(M-1)/2} \left\{ \sum_{n=0}^{(M-3)/2} h[n] \left( z^{(M-1)/2-n} \pm z^{-[(M-1)/2-n]} \right) + \frac{1}{2} h[(M-1)/2] (z^0 \pm z^0) \right\}$$

$$H(z) = z^{-(M-1)/2} \sum_{k=0}^{(M-1)/2} \frac{1}{2} a_k \left( z^k \pm z^{-k} \right)$$

$$a_0 = h[(M-1)/2]$$

$$a_k = 2h[(M-1)/2 - k]$$

Digitalna obrada signala

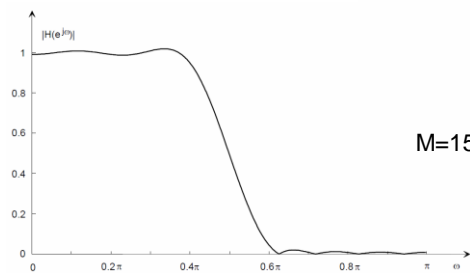
Sinteza sistema sa konačnim impulsnim odzivom

Sinteza FIR sistema sa prozorskim funkcijama

## Koliko dobro?

Idealan NF sa linearnom fazom

$$H_D(e^{j\Omega}) = \begin{cases} e^{-j\Omega\tau}, & \Omega < \Omega_c \\ 0, & \Omega > \Omega_c \end{cases}$$



Najveće oscilacije oko  $\Omega_c$

Gibsove oscilacije

Premašenje amplitude oko 9%, 0.75dB

Slabljenje samo 21dB



Malo zavisi od M

Digitalna obrada signala

Sinteza sistema sa konačnim impulsnim odzivom

Sinteza FIR sistema sa prozorskim funkcijama

Odsecanje ali na drugi način

Prozorske funkcije

$$W(z)$$

$$h_w[n] = \begin{cases} w[n]h_D\left[n - \frac{M-1}{2}\right], & n = 0, 1, \dots, M-1 \\ 0, & n < 0, \quad n \geq M \end{cases}$$

$$H_w(z) = \frac{1}{2\pi j} \oint_{C_1} H_D(u) W\left(\frac{z}{u}\right) u^{-1} du$$

$$H_w(e^{j\Omega}) = \frac{1}{2\pi} \int_0^{2\pi} H(e^{j\omega}) W[e^{j(\Omega-\omega)}] d\omega$$

Digitalna obrada signala

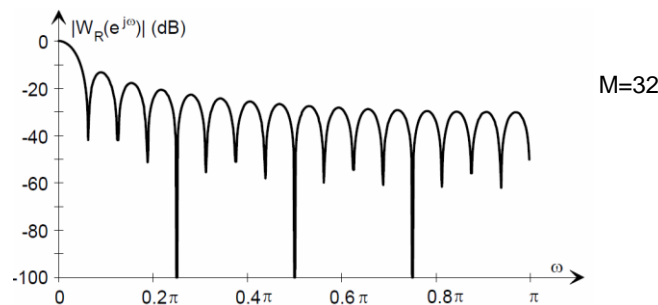
Sinteza sistema sa konačnim impulsnim odzivom

Sinteza FIR sistema sa prozorskim funkcijama

Pravougaona prozorska funkcija

$$w_R[n] = \begin{cases} 1, & n = 0, 1, \dots, M-1 \\ 0, & n < 0, \quad n \geq M \end{cases}$$

$$W_R(e^{j\Omega}) = \frac{\sin(\Omega M/2)}{\sin(\Omega/2)} e^{-j\Omega(M-1)/2}$$



Digitalna obrada signala

**Sinteza sistema sa konačnim impulsnim odzivom**

**Sinteza FIR sistema sa prozorskim funkcijama**

### Pravougaona prozorska funkcija

Razlog za pojavu Gibsovih oscilacija je konvolucija u frekvencijskom domenu između željene frekvencijske karakteristike i frekvencijske karakteristike pravougaone prozorske funkcije koja izaziva odstupanja od željene karakteristike.

Odstupanja su posledice dve karakteristike spektra prozorske funkcije.

Širina glavnog luka u spektru prozorske funkcije utiče na širinu prelazne zone, dok amplituda bočnih lukova u spektru prozorske funkcije utiče na amplitudu Gibsovih oscilacija.

Dakle, dobra prozorska funkcija trebalo bi da ima što uži glavni luk i što veće potiskivanje bočnih lukova, što su kontradiktorni zahtevi.

Digitalna obrada signala

**Sinteza sistema sa konačnim impulsnim odzivom**

**Sinteza FIR sistema sa prozorskim funkcijama**

1. Prozorske funkcije u spektralnoj analizi najčešće imaju paran broj članova (obično  $2^p$ ) dok prozorske funkcije u sintezi FIR filtra imaju neparan broj članova. Ova razlika je posledica činjenice da najefikasniji algoritmi za izračunavanje DFT zahtevaju da sekvenca ima paran broj članova, a u sintezi FIR filtra se izbegava paran broj odbiraka u impulsnom odzivu jer unosi necelobrojno kašnjenje.

2. Širina prelazne zone između propusnog i nepropusnog opsega povezana je nelinearnom relacijom sa širinom glavnog luka u spektru prozorske funkcije.

3. Maksimalna greška amplitudske karakteristike FIR filtra zavisi na nelinearan način od maksimalne amplitudne bočnih lukova u spektru prozorske funkcije.

Zbog pojava navedenih pod 2 i 3, teško je unapred proceniti da li će primena izabrane prozorske funkcije dati zadovoljavajući rezultat u sintezi FIR filtra

Prozor	Širina prelazne zone	Minimalno slabljenje u nepropusnom opsegu	$\beta$ za ekvivalentni Kajzerov prozor	Širina prelazne zone sa ekvivalentnim prozorom
Pravougaoni	$1.8\pi/M$	-21	0	$1.81\pi/(M-1)$
Hanov	$6.2\pi/(M-1)$	-44	3.86	$5.01\pi/(M-1)$
Hemingov	$6.6\pi/(M-1)$	-53	4.86	$6.27\pi/(M-1)$
Blekmanov	$11\pi/(M-1)$	-74	7.04	$9.19\pi/(M-1)$

Digitalna obrada signala

Sinteza sistema sa konačnim impulsnim odzivom

Sinteza FIR sistema sa prozorskim funkcijama

Kajzerova prozorska funkcija

Kajzerova (Kaiser) ili Kajzer-Beselova (Kaiser-Bessel) prozorska funkcija predstavlja jednostavnu diskretnu aproksimaciju funkcije ograničenog trajanja  $T_K$  koja maksimizira energiju sadržanu u opsegu učestanosti  $B_K$

$$w_K[n] = \frac{I_0\left\{\beta\sqrt{1-[1-2n/(N-1)]^2}\right\}}{I_0(\beta)}, \quad n = 0, 1, 2, \dots, N-1$$

$$I_0(x) = \sum_{k=0}^{\infty} \left[ \frac{(x/2)^k}{k!} \right]^2 \quad \beta = 0.5T_K B_K$$

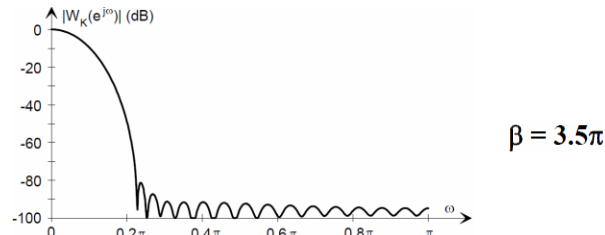
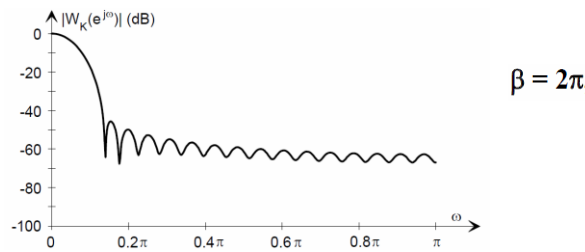
Kontinualnom promenom parametra  $\beta$  može se povećavati slabljenje bočnih lukova na račun proširenja glavnog luka

Digitalna obrada signala

Sinteza sistema sa konačnim impulsnim odzivom

Sinteza FIR sistema sa prozorskim funkcijama

Kajzerova prozorska funkcija



Digitalna obrada signala

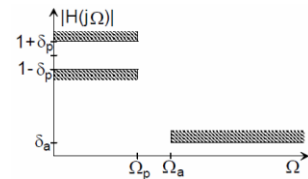
Sinteza sistema sa konačnim impulsnim odzivom

Sinteza FIR sistema sa prozorskim funkcijama

Kajzerova prozorska funkcija

Pošto je kod Gibsovih oscilacija amplituda greške u propusnom i nepropusnom opsegu ista, i pošto prozorske funkcije samo ublažavaju dejstvo Gibsovih oscilacija, dozvoljena greška u propusnom i nepropusnom opsegu mora biti ista, tj.  $\delta_p = \delta_a = \delta$ .

Ako se u postupku formiranja specifikacija izaberu različite vrednosti za  $\delta_p$  i  $\delta_a$ , u sintezi se mora koristiti manja od dve specificirane vrednosti.



Digitalna obrada signala

Sinteza sistema sa konačnim impulsnim odzivom

Sinteza FIR sistema sa prozorskim funkcijama

Kajzerova prozorska funkcija

1

Na osnovu zadatih specifikacija  $\Omega_p$ ,  $\Omega_a$ ,  $\alpha_p$  i  $\alpha_a$  određuje se širina prelazne zone

$$B_t = \Omega_a - \Omega_p$$

granična učestanost idealnog NF filtra

$$\Omega_c = \frac{\Omega_a + \Omega_p}{2}$$

i vrednosti za  $\delta_p$  i  $\delta_a$  prema izrazima

$$\delta_p = \frac{10^{0.05\alpha_p} - 1}{10^{0.05\alpha_p} + 1}$$

$$\delta_a = 10^{-0.05\alpha_a}$$

Digitalna obrada signala

**Sinteza sistema sa konačnim impulsnim odzivom**

**Sinteza FIR sistema sa prozorskim funkcijama**

Kajzerova prozorska funkcija

2

Izabere se vrednost greške  $\delta$  prema izrazu:  $\delta = \min(\delta_p, \delta_a)$

Ako je  $\delta \neq \delta_a$ , izračuna se nova vrednost za  $\alpha_a$  prema izrazu:  $\alpha_a = -20 \log \delta$

3

Izabere se vrednost parametra  $\beta$  prema empirijskom izrazu

$$\beta = \begin{cases} 0, & \alpha_a < 21 \text{ dB} \\ 0.5842(\alpha_a - 21)^{0.4} + 0.07886(\alpha_a - 21), & 21 \text{ dB} \leq \alpha_a \leq 50 \text{ dB} \\ 0.1102(\alpha_a - 8.7), & \alpha_a > 50 \text{ dB} \end{cases}$$

4

Odredi se broj članova impulsnog odziva prozorske funkcije prema izrazu

$$D = \begin{cases} 0.9222, & \alpha_a \leq 21 \text{ dB} \\ \frac{\alpha_a - 7.95}{14.36}, & \alpha_a > 21 \text{ dB} \end{cases}$$

$$M \geq \frac{2\pi D}{B_t} + 1$$

Digitalna obrada signala

**Sinteza sistema sa konačnim impulsnim odzivom**

**Sinteza FIR sistema sa prozorskim funkcijama**

Kajzerova prozorska funkcija

5

Formira se

$$w_K[n] = \frac{I_0 \left\{ \beta \sqrt{1 - [1 - 2n/(N-1)]^2} \right\}}{I_0(\beta)}, \quad n = 0, 1, 2, \dots, N-1 \quad N=M$$

6

Izračunaju se koeficijenti razvoja funkcije prenosa idealnog NF filtra

$$H_D(e^{j\Omega}) = \begin{cases} 1, & 0 \leq |\Omega| \leq \Omega_c \\ 0, & \Omega_c < |\Omega| \leq \pi \end{cases}$$

$$h_D[n] = \frac{1}{2\pi} \int_{-\pi}^{\pi} H_D(e^{j\Omega}) e^{jn\Omega} d\Omega = \frac{1}{\pi} \int_0^{\Omega_c} e^{jn\Omega} d\Omega = \frac{1}{n\pi} \sin \Omega_c n, \quad |n| \leq \frac{M-1}{2}$$

7

Formira se impulsni odziv FIR filtra prema izrazu

$$h[n] = h_D \left[ n - \frac{M-1}{2} \right] w_K[n], \quad n = 0, 1, \dots, M-1$$

$$H(z) = z^{-(M-1)/2} \sum_{n=0}^{M-1} h[n] z^{-n}$$

Digitalna obrada signala

**Sinteza sistema sa konačnim impulsnim odzivom**

**Sinteza FIR sistema sa prozorskim funkcijama**

**VF**

$$B_t = \Omega_p - \Omega_a \quad H_D(e^{j\Omega}) = \begin{cases} 0, & 0 \leq |\Omega| < \Omega_c \\ 1, & \Omega_c \leq |\Omega| \leq \pi \end{cases}$$

**PO**

$$B_t = \min [(\Omega_{p1} - \Omega_{a1}), (\Omega_{a2} - \Omega_{p2})]$$

$$\Omega_{c1} = \Omega_{p1} - \frac{B_t}{2}, \quad \Omega_{c2} = \Omega_{p2} + \frac{B_t}{2}$$

$$H_D(e^{j\Omega}) = \begin{cases} 0, & 0 \leq |\Omega| < \Omega_{c1} \\ 1, & \Omega_{c1} \leq |\Omega| < \Omega_{c2} \\ 0, & \Omega_{c2} \leq |\Omega| \leq \pi \end{cases}$$

Digitalna obrada signala

**Sinteza sistema sa konačnim impulsnim odzivom**

**Sinteza FIR sistema sa prozorskim funkcijama**

**NO**

$$B_t = \min [(\Omega_{a1} - \Omega_{p1}), (\Omega_{p2} - \Omega_{a2})]$$

$$\Omega_{c1} = \Omega_{p1} + \frac{B_t}{2}, \quad \Omega_{c2} = \Omega_{p2} - \frac{B_t}{2}$$

$$H_D(e^{j\Omega}) = \begin{cases} 1, & 0 \leq |\Omega| < \Omega_{c1} \\ 0, & \Omega_{c1} \leq |\Omega| < \Omega_{c2} \\ 1, & \Omega_{c2} \leq |\Omega| \leq \pi \end{cases}$$

Digitalna obrada signala

**Sinteza sistema sa konačnim impulsnim odzivom**

**Sinteza FIR sistema sa prozorskim funkcijama**

Dobro - Jednostavnost i postojanje eksplisitnih izraza za odbirke skoro svih prozorskih funkcija (izuzimajući Dolf-Čebiševljevu prozorskiju funkciju).

Loše -

Ako idealna frekvencijska karakteristika koju treba aproksimirati nije data jednostavnim izrazima, može se desiti da ne postoji eksplisitno rešenje za vrednost određenog integrala kojim se računa impulsni odziv. U takvom slučaju mora se pristupiti numeričkom izračunavanju integrala **za šta se može iskoristiti Diskretna Furijeova transformacija.**

Drugi problem koji se pojavljuje kod primene prozorskih funkcija je relativno mala fleksibilnost pri projektovanju. Iako se na početku postupka projektovanja zadaju specifikacije zagranične učestanosti  $\Omega_p$  i  $\Omega_a$ , nema nikakve garancije da će te granice zaista biti i realizovane u postupku sinteze. Naime, zbog konvolucione veze spektara idealne karakteristike i prozorske funkcije, prozorska funkcija u suštini ublažava diskontinualni prelaz iz propusnog u nepropusni opseg kod idealnog filtra. Tako se granična učestanost idealnog filtra,  $\Omega_c$ , na komplikovan način preslikava u dve granične učestanosti,  $\Omega_p$  i  $\Omega_a$ .

Digitalna obrada signala

**Sinteza sistema sa konačnim impulsnim odzivom**

**Sinteza FIR sistema sa prozorskim funkcijama**

Jedan od glavnih nedostataka metoda sinteze pomoću prozorskih funkcija je što rezultujuće funkcije prenosa **nisu optimalne** ni po kakvom poznatom kriterijumu.

To znači, a taj zaključak je potvrđen i u praksi, da se uvek može sintetizovati filter sa boljim performansama.

Ovaj zaključak važi čak i u slučaju da se koriste optimalne prozorske funkcije, kao što su Kajzerova ili DolfČebiševljeva, jer je dejstvo prozorske funkcije na rezultujuće rešenje posredno, preko konvolucione relacije.

Zbog toga se često, a naročito ako je na raspolaganju računar, koriste alternativne metode za projektovanje FIR filtarskih funkcija

Digitalna obrada signala

**Sinteza sistema sa konačnim impulsnim odzivom**

**Sinteza FIR sistema sa prozorskim funkcijama**

Jedan od glavnih nedostataka metoda sinteze pomoću prozorskih funkcija je što rezultujuće funkcije prenosa **nisu optimalne** ni po kakvom poznatom kriterijumu.

To znači, a taj zaključak je potvrđen i u praksi, da se uvek može sintetizovati filter sa boljim performansama.

Ovaj zaključak važi čak i u slučaju da se koriste optimalne prozorske funkcije, kao što su Kajzerova ili DolfČebiševljeva, jer je dejstvo prozorske funkcije na rezultujuće rešenje posredno, preko konvolucione relacije.

Zbog toga se često, a naročito ako je na raspolaganju računar, koriste alternativne metode za projektovanje FIR filterskih funkcija

Digitalna obrada signala

**Sinteza sistema sa konačnim impulsnim odzivom**

**Optimizacioni metodi sinteze FIR sistema**

Ako se detaljnije analizira ponašanje amplitudske karakteristike, lako se može uočiti da su odstupanja amplitudske karakteristike (greška aproksimacije) najveća u blizini graničnih učestanosti.

Iz teorije analognih, kao i diskretnih IIR filtera, znatno bolji rezultati u pogledu aproksimacije amplitudske karakteristike mogu se dobiti ako se greška aproksimacije ravnomerno rasporedi unutar propusnog i nepropusnog opsega, što je pokazano na primerima Čebiševljeve i eliptičke aproksimacije.

Slična ideja se može primeniti i u sintezi FIR filterskih funkcija, odnosno, problem aproksimacije amplitudske karakteristike FIR filtra se može posmatrati kao problem aproksimacije u Čebiševljevom smislu.

Digitalna obrada signala

Sinteza sistema sa konačnim impulsnim odzivom

Optimizacioni metodi sinteze FIR sistema

Hoćemo

$$1 - \delta_p \leq H_r(\Omega) \leq 1 + \delta_p, \quad |\Omega| \leq \Omega_p$$

NF  
Kao i uvek

$$-\delta_a \leq H_r(\Omega) \leq \delta_a, \quad |\Omega| \geq \Omega_a$$

$H_{dr}(\Omega)$  Idealna **realna** funkcija koju treba aproksimirati

$$W(\Omega) = \begin{cases} 1, & 0 \leq |\Omega| \leq \Omega_p \\ \frac{\delta_p}{\delta_a} = K, & \Omega_a < |\Omega| \leq \pi \end{cases}$$

Težinska funkcija koja pokazuje relativan uticaj greške u pojedinom opsegu

Digitalna obrada signala

Sinteza sistema sa konačnim impulsnim odzivom

Optimizacioni metodi sinteze FIR sistema

Greška

$$E(\Omega) = W(\Omega)[H_{dr}(\Omega) - H_r(\Omega)] = W(\Omega)[H_{dr}(\Omega) - Q(\Omega)P(\Omega)]$$

$$E(\Omega) = W(\Omega)Q(\Omega)\left[\frac{H_{dr}(\Omega)}{Q(\Omega)} - P(\Omega)\right] = \hat{W}(\Omega)\left[\hat{H}_{dr}(\Omega) - P(\Omega)\right]$$

Čebiševljev aproksimacioni problem se sastoji u određivanju koeficijenata polinoma  $P(\Omega)$  koji minimizuju maksimalnu absolutnu vrednost  $E(\Omega)$  u opsezima  $S$  učestanosti od interesa.

Treba naći skup koeficijenata  $\alpha_k$ , koji zadovoljavaju jednačinu

$$\min_{\alpha_k, k \in [0, L]} \left[ \max_{\Omega \in S} |E(\Omega)| \right] = \min_{\alpha_k, k \in [0, L]} \left\{ \max_{\Omega \in S} \left| \hat{W}(\Omega) \left[ \hat{H}_{dr}(\Omega) - \sum_{k=0}^L \alpha_k \cos \Omega k \right] \right| \right\}$$

Digitalna obrada signala

Sinteza sistema sa konačnim impulsnim odzivom

Optimizacioni metodi sinteze FIR sistema

Digresija

$$H(e^{j\Omega}) = e^{-j\Omega(M-1)/2} \sum_{k=0}^{(M-1)/2} a_k \cos \Omega k$$

$$H(e^{j\Omega}) = e^{-j\Omega(M-1)/2} \sum_{k=1}^{M/2} b_k \cos \Omega \left( k - \frac{1}{2} \right)$$

$$H(e^{j\Omega}) = e^{-j[\Omega(M-1)/2 - \pi/2]} \sum_{k=1}^{(M-1)/2} a_k \sin \Omega k = j e^{-j\Omega(M-1)/2} \sum_{k=1}^{(M-1)/2} a_k \sin \Omega k$$

$$H(e^{j\Omega}) = e^{-j[\Omega(M-1)/2 - \pi/2]} \sum_{k=1}^{M/2} b_k \sin \Omega \left( k - \frac{1}{2} \right) = j e^{-j\Omega(M-1)/2} \sum_{k=1}^{M/2} b_k \sin \Omega \left( k - \frac{1}{2} \right)$$



$K = 0$  I, II

$$H(e^{j\Omega}) = e^{-j\Omega(M-1)/2} e^{jK\pi/2} H_r(\Omega) \quad K = 1 \quad III, IV$$

Digitalna obrada signala

Sinteza sistema sa konačnim impulsnim odzivom

Optimizacioni metodi sinteze FIR sistema

Digresija

$$H(e^{j\Omega}) = e^{-j\Omega(M-1)/2} e^{jK\pi/2} H_r(\Omega)$$

$$H_r(\Omega) = Q(\Omega)P(\Omega)$$

$$P(\Omega) = \sum_{k=0}^L a_k \cos \Omega k$$

$$Q(\Omega)$$

$$\begin{array}{ll} \text{Tip I} & 1 \end{array}$$

$$\begin{array}{ll} \text{Tip II} & \cos \frac{\Omega}{2} \end{array}$$

$$\begin{array}{ll} \text{Tip III} & \sin \Omega \end{array}$$

$$\begin{array}{ll} \text{Tip IV} & \sin \frac{\Omega}{2} \end{array}$$

Digitalna obrada signala

**Sinteza sistema sa konačnim impulsnim odzivom**

**Optimizacioni metodi sinteze FIR sistema**

Teorema alternacije

S označava zatvoreni skup koji se sastoji od disjunktne unije zatvorenih podskupova ose učestanosti  $\Omega$  u intervalu  $[0, \pi]$ .

$$P(\Omega) = \sum_{k=0}^L \alpha_k \cos \Omega k$$

predstavlja jedinstvenu, najbolju Čebiševljevu aproksimaciju funkcije na skupu S

Potrebno i dovoljno

funkcija greške  $E(\Omega)$  ima bar  $L + 2$  ekstremuma na skupu učestanosti S.

Mora postojati bar  $L + 2$  učestanosti  $\Omega_i$ ,  $i = 1, \dots, L + 2$ , gde je  $E(\Omega_i) = -E(\Omega_{i+1})$

$$|E(\Omega_i)| = \max_{\Omega \in S} |E(\Omega)|, \quad i = 1, \dots, L + 2$$

Digitalna obrada signala

**Sinteza sistema sa konačnim impulsnim odzivom**

**Optimizacioni metodi sinteze FIR sistema**

Teorema alternacije

S označava zatvoreni skup koji se sastoji od disjunktne unije zatvorenih podskupova ose učestanosti  $\Omega$  u intervalu  $[0, \pi]$ .

$$P(\Omega) = \sum_{k=0}^L \alpha_k \cos \Omega k$$

predstavlja jedinstvenu, najbolju Čebiševljevu aproksimaciju funkcije na skupu S

Potrebno i dovoljno

funkcija greške  $E(\Omega)$  ima bar  $L + 2$  ekstremuma na skupu učestanosti S.

Mora postojati bar  $L + 2$  učestanosti  $\Omega_i$ ,  $i = 1, \dots, L + 2$ , gde je  $E(\Omega_i) = -E(\Omega_{i+1})$

$$|E(\Omega_i)| = \max_{\Omega \in S} |E(\Omega)|, \quad i = 1, \dots, L + 2$$

Digitalna obrada signala

**Sinteza sistema sa konačnim impulsnim odzivom**

**Optimizacioni metodi sinteze FIR sistema**

$$\text{Čebiševljev polinom} \quad T_N(x) = \begin{cases} \cos(N \cos^{-1} x) & |x| \leq 1 \\ \cosh(N \cosh^{-1} x) & |x| \geq 1 \end{cases}$$

$$T_N(\cos \Omega) = \cos N\Omega$$

$$P(\Omega) = \sum_{k=0}^L \alpha_k \cos \Omega k = \sum_{k=0}^L \alpha_k T_k(\cos \Omega) = \sum_{k=0}^L \beta_k (\cos \Omega)^k$$

ekstremumi

$$\frac{dE(\Omega)}{d\Omega} = -\frac{dH_r(\Omega)}{d\Omega} = 0$$

Digitalna obrada signala

**Sinteza sistema sa konačnim impulsnim odzivom**

**Optimizacioni metodi sinteze FIR sistema**

$$\text{Tip 1} \quad H(e^{j\Omega}) = e^{-j\Omega(M-1)/2} \sum_{k=0}^{(M-1)/2} a_k \cos \Omega k$$

trigonometrijski polinom L-tog reda po cosw  
izvod ima najviše L - 1 nula, L - 1 lokalnih ekstremuma

$$\frac{dP(\Omega)}{d\Omega} = -\sin \Omega \left[ \sum_{k=1}^L \beta_k k (\cos \Omega)^{k-1} \right]$$

$\Omega = 0$  i  $\Omega = \pi$  Još dva ekstrumuma

funkcija greške mora imati ekstremne vrednosti i na učestanostima  $\Omega_p$  i  $\Omega_a$ ,  
inače uslov alternacije ekstremuma ne bi bio zadovoljen

Maksimalan broj ekstremuma funkcije greške je  $L + 3$  u slučaju NF i VF filterskih funkcija.

U slučaju PO i NO filterskih funkcija maksimalan broj ekstremalnih tačaka funkcije greške je  $L + 5$

Digitalna obrada signala

Sinteza sistema sa konačnim impulsnim odzivom

Optimizacioni metodi sinteze FIR sistema

Apsolutne vrednosti svih ekstremuma su jednake, osim u tačkama  $\Omega = 0$  ili  $\Omega = \pi$ .

Ako je vrednost funkcije greške u nekoj tački ekstremuma manja od ostalih, onda se pri numeraciji ekstremuma mora izostaviti ne samo ta tačka, već i jedna susedna, pošto inače ne bi bio zadovoljen uslov alternacije.

Zbog toga se ova klasa filterskih funkcija naziva optimalna aproksimacija ili aproksimacija sa jednakim odstupanjima (engl. equiripple).

Potrebno i dovoljno

funkcija greške  $E(\Omega)$  ima bar  $L + 2$  ekstremuma na skupu učestanosti  $S$ .

Mora postojati bar  $L + 2$  učestanosti  $\Omega_i$ ,  $i = 1, \dots, L + 2$ , gde je  $E(\Omega_i) = -E(\Omega_{i+1})$

$$|E(\Omega_i)| = \max_{\Omega \in S} |E(\Omega)|, \quad i = 1, \dots, L + 2$$

Digitalna obrada signala

Sinteza sistema sa konačnim impulsnim odzivom

Optimizacioni metodi sinteze FIR sistema

Kako naći takvu aproksimaciju?

Parks-MekKlelanov algoritam (Parks-McClellan)

Remezov algoritam za izjednačavanje ekstremuma

Precizno kontroliše parametre  $L$ ,  $\Omega_p$ ,  $\Omega_a$  i  $\delta_p / \delta_a$ , dok je  $\delta_p$  (ili  $\delta_a$ ) promenljivi parametar

Na učestanostima ekstremuma funkcija greške optimalnog rešenja

$$E(\Omega_n) = \hat{W}(\Omega_n) [\hat{H}_{dr}(\Omega_n) - P(\Omega_n)] = (-1)^n \delta, \quad n = 0, 1, \dots, L + 1$$

$$P(\Omega_n) + \frac{(-1)^n \delta}{\hat{W}(\Omega_n)} = \hat{H}_{dr}(\Omega_n), \quad n = 0, 1, \dots, L + 1$$

$$\sum_{k=0}^L \alpha_k \cos \Omega k + \frac{(-1)^n \delta}{\hat{W}(\Omega_n)} = \hat{H}_{dr}(\Omega_n), \quad n = 0, 1, \dots, L + 1$$

# Sinteza sistema sa konačnim impulsnim odzivom

Digitalna obrada signala

**Sinteza sistema sa konačnim impulsnim odzivom**

**Optimizacioni metodi sinteze FIR sistema**

$$\begin{bmatrix} 1 & \cos\Omega_0 & \cos 2\Omega_0 & \cdots & \cos L\Omega_0 & \frac{1}{\hat{W}(\Omega_0)} \\ 1 & \cos\Omega_1 & \cos 2\Omega_1 & \cdots & \cos L\Omega_1 & \frac{-1}{\hat{W}(\Omega_1)} \\ \vdots & \vdots & \vdots & \ddots & \vdots & \vdots \\ 1 & \cos\Omega_{L+1} & \cos 2\Omega_{L+1} & \cdots & \cos L\Omega_{L+1} & \frac{(-1)^{L+1}}{\hat{W}(\Omega_{L+1})} \end{bmatrix} \begin{bmatrix} a_0 \\ a_1 \\ \vdots \\ a_L \\ \delta \end{bmatrix} = \begin{bmatrix} \hat{H}_{dr}(\Omega_0) \\ \hat{H}_{dr}(\Omega_1) \\ \vdots \\ \hat{H}_{dr}(\Omega_L) \\ \hat{H}_{dr}(\Omega_{L+1}) \end{bmatrix}$$

$L + 2$  nepoznatih učestanosti  $\Omega_n$

$L + 1$  nepoznatih koeficijenata  $a_k$

vrednost maksimalne greške  $\delta$

Remezov algoritam zamene iterativno rešava problem  
određivanja  $2(L + 2)$  nepoznatih parametara

Digitalna obrada signala

**Sinteza sistema sa konačnim impulsnim odzivom**

**Optimizacioni metodi sinteze FIR sistema**

Digresija

Remezov algoritam predstavlja iterativni postupak za određivanje najbolje ravnomerne aproksimacije neprekidne funkcije  $f(x)$  polinomom stepena  $n$  na intervalu  $[a, b]$ .

Korak 0: Izabratи  $n + 2$  različite tačke  $x_0 < x_1 < \dots < x_{n+1}$  sa intervala  $[a, b]$ . Obično se za  $x_i$  uzimaju nule Čebiševljevog polinoma.

Korak 1: Rešiti sistem linearnih jednačina

$b_0 + b_1x_i + \dots + b_nx_i^i + (-1)^i E = f(x_i)$ ,  $i = 0, 1, \dots, n + 1$   
po nepoznatim  $b_0, b_1, \dots, b_n$  i  $E$ .

Korak 2: Formirati polinom  $p(x) = b_0 + b_1x + \dots + b_nx^n$ .

Korak 3: U tačkama  $x_i$  funkcija  $p(x) - f(x)$  menja znak, pa postoji bar  $n + 1$  nula ove funkcije koje dele  $[a, b]$  na  $n+2$  intervala. Tačke  $x_i$  zameniti novim tačkama  $y_i$  u kojima se dostiže lokalni maksimum funkcije  $|p(x) - f(x)|$  u intervalu kome pripada  $x_i$ .

Ukoliko je  $p(x_i) - f(x_i) = +|E|$ , treba naći lokalni maksimum funkcije  $p(x) - f(x)$  u okolini  $x_i$ , a ukoliko je  $p(x_i) - f(x_i) = -|E|$ , naći lokalni minimum. Pošto je algoritam iterativan, ove ekstreme nije potrebno tačno izračunati, dovoljno je npr. par iteracija kvadratnog fitovanja. Tačku  $y_0$  očekujemo da je u okolini  $a$ , tačku  $y_{n+1}$  u okolini  $b$ , a preostale  $y_i$  u okolini tačaka  $x_i$ . Označimo  $z_i = p(y_i) - f(y_i)$ . Po konstrukciji je  $|z_i| \geq |E|$ , pa je  $\min_i |z_i| \geq |E|$  nova donja granica optimalne greške aproksimacije.

Korak 4: Ažurirati tačke  $x_i$  novodobijenim tačkama  $y_i$ . Pošto je  $\max_i |z_i|$  gornja granica optimalne greške (dostiže se na polinomu  $p(x)$ ), za kriterijum zaustavljanja se može koristiti dovoljno mala razlika  $\min_i |z_i|$  i  $\max_i |z_i|$ . Ukoliko tačnost nije zadovoljena, ići na Korak 1.

Digitalna obrada signala

**Sinteza sistema sa konačnim impulsnim odzivom**

**Optimizacioni metodi sinteze FIR sistema**

Ali

$$\delta = \frac{g_0 \hat{H}_{dr}(\Omega_0) + g_1 \hat{H}_{dr}(\Omega_1) + \dots + g_{L+1} \hat{H}_{dr}(\Omega_{L+1})}{\hat{W}(\Omega_0) - \frac{g_1}{\hat{W}(\Omega_1)} + \dots + \frac{(-1)^{L+1} g_{L+1}}{\hat{W}(\Omega_{L+1})}} = \frac{\sum_{k=0}^{L+1} g_k \hat{H}_{dr}(\Omega_k)}{\sum_{k=0}^{L+1} (-1)^k g_k}$$

A

$$g_k = \prod_{\substack{n=0 \\ n \neq k}}^{L+1} \frac{1}{\cos \Omega_k - \cos \Omega_n} \quad g_k = \prod_{\substack{n=0 \\ n \neq k}}^{L+1} \frac{1}{x_k - x_n}$$

Digitalna obrada signala

**Sinteza sistema sa konačnim impulsnim odzivom**

**Optimizacioni metodi sinteze FIR sistema**

$$P(\Omega) = \sum_{k=0}^L \beta_k (\cos \Omega)^k = \sum_{k=0}^L \beta_k x^k = P(x)$$

$$P(\Omega_i) = \hat{H}_{dr}(\Omega_i) - \frac{(-1)^i \delta}{\hat{W}(\Omega_i)}, \quad i = 0, 1, \dots, L+1$$

Lagranžova interpolaciona formula

B

$$P(x) = \frac{\sum_{k=0}^L P(\omega_k) \frac{b_k}{x - x_k}}{\sum_{k=0}^L \frac{b_k}{x - x_k}}, \quad x = \cos \Omega$$

$$b_k = \prod_{\substack{n=0 \\ n \neq k}}^L \frac{1}{x_k - x_n} = \frac{g_k}{x_k - x_{L+1}}$$

Digitalna obrada signala

**Sinteza sistema sa konačnim impulsnim odzivom**

**Optimizacioni metodi sinteze FIR sistema**

1. Prepostavi se početni skup ekstremalnih učestanosti  $\Omega_n$ ,  $n = 0, 1, \dots, L + 1$
2. Na osnovu poznatog položaja ekstremuma odredi se vrednost  $\delta$  na osnovu **A** a zatim na osnovu **B** koeficijenti polinoma  $P(x)$ , odnosno  $P(\cos\Omega)$ .
3. Na osnovu poznatih koeficijenata polinoma  $P(x)$ , izračuna se vrednost funkcije greške za veći broj diskretnih učestanosti. Uobičajeno je da se greška izračunava u  $8(M + 2)$  tačaka, gde je  $M$  dužina impulsnog odziva. Ako je  $|E(\Omega_i)| \geq \delta$  na nekim učestanostima, onda se izabere novi skup od  $L + 2$  ekstremalnih učestanosti **koje predstavljaju položaje ekstremuma** funkcije greške  $E(\Omega)$  koji moraju biti u alternirajućem rasporedu. Zatim se ponavlja faza 2.
4. Postupak se završava kada postane  $|E(\Omega_i)| \leq \delta$  na svim učestanostima, odnosno kada  $\delta$  prestane da se menja u iterativnom postupku.

Digitalna obrada signala

**Sinteza sistema sa konačnim impulsnim odzivom**

**Optimizacioni metodi sinteze FIR sistema**

$$H_r\left(\frac{2\pi k}{M}\right) = Q\left(\frac{2\pi k}{M}\right)P\left(\frac{2\pi k}{M}\right), \quad k = 0, 1, \dots, U$$

$$U = \begin{cases} \frac{M-1}{2}, & M \text{ neparno} \\ \frac{M}{2}-1, & M \text{ parno} \end{cases}$$

Dobijeni rezultat je optimalan u smislu da ima najmanju aproksimacionu grešku  $\delta$  za traženu širinu prelazne zone  $\Omega_a - \Omega_p$ . Ako se težinska funkcija  $W(\Omega)$  izabere na način kako je prikazano, onda je  $\delta_a = \delta$ ,  $\delta_p = K\delta$ .

Ako je potrebno realizovati funkciju sa propisanim vrednostima za  $\delta_p$  i  $\delta_a$ , onda se obično fiksiraju vrednosti za  $M$  i graničnu učestanost propusnog opsega  $\Omega_p$ , a vrednost granične učestanosti nepropusnog opsega,  $\Omega_a$ , se varira dok se sintezom ne dobije funkcija koja ima tražene vrednosti za  $\delta_p$  i  $\delta_a$ .

.

Digitalna obrada signala

Sinteza sistema sa konačnim impulsnim odzivom

Optimizacioni metodi sinteze FIR sistema

$$M \geq \frac{-10\log(\delta_p \delta_a) - 13}{2.324B_t} + 1$$

$$M \geq \frac{2\pi D_\infty(\delta_p, \delta_a)}{B_t} - \frac{f(\delta_p, \delta_a)B_t}{2\pi} + 1$$

$$D_\infty(\delta_p, \delta_a) = [0.005309(\log \delta_p)^2 + 0.071141 \log \delta_p - 0.4761] \log \delta_a \\ - [0.00266(\log \delta_p)^2 + 0.5941 \log \delta_p + 0.4278]$$

$$f(\delta_p, \delta_a) = 11.01217 + 0.51244(\log \delta_p - \log \delta_a)$$

Digitalna obrada signala

Sinteza sistema sa konačnim impulsnim odzivom

Optimizacioni metodi sinteze FIR sistema

Metod sinteze pomoću prozorskih funkcija je najjednostavniji za primenu. Na žalost, ovim metodom se ne mogu tačno realizovati zadate učestanosti  $\Omega_p$  i  $\Omega_a$ , čija vrednost zavisi od korišćene prozorske funkcije i izabrane vrednosti  $M$ . Dužina impulsnog odziva,  $M$ , koja se dobija ovim metodom je najveća, što znači najveću složenost realizacije.

Metod sinteze pomoću odabiranja u frekvencijskom domenu obavezno zahteva upotrebu računara i programa za optimizaciju parametara. Može se reći da je od opisanih metoda najteži za primenu. Kontrola položaja graničnih učestanosti  $\Omega_p$  i  $\Omega_a$  je nešto bolja nego kada se primenjuju prozorske funkcije, a greška graničnih učestanosti je manja od  $2\pi/M$ . Mada se za sintezu koristi praktično ista vrednost za  $M$  kao kod metoda prozorskih funkcija, složenost realizacije je znatno manja zbog mogućnosti korišćenja specijalne realizacione strukture.

Čebiševljeva aproksimacija omogućava najbolju kontrolu specifikacija i u tom pogledu je najbolja. Granične učestanosti  $\Omega_p$  i  $\Omega_a$  se tačno realizuju, a dužina impulsnog odziva se dosta tačno može proceniti empirijskim formulama. U filterskim aplikacijama, potrebna dužina impulsnog odziva je znatno manja nego kod prethodna dva metoda sinteze, često i za 30%. Čebiševljeva aproksimacija je optimalna u smislu da za dato  $M$  omogućava najmanju širinu prelazne zone. S obzirom na široku rasprostranjenost optimizacionih programa za Čebiševljevu aproksimaciju, ovaj metod je danas standardni metod za sintezu FIR funkcija prenosa sa linearном fazom.